

# 线性系统的根轨迹法

## 根轨迹绘制基本法则

邢超

<.1>

### 1 根轨迹分支数、对称性和连续性

根轨迹分支数、对称性和连续性

- 根轨迹分支数等于开环零点与开环极点数中的较大者，即  $\max(m, n)$  (多项式的阶数为  $\max(m, n)$ )
- 根轨迹关于实轴对称 (实系数多项式的根为实数或共轭复数)
- 根轨迹是连续的 (参考隐函数存在定理)

<.2>

### 2 根轨迹的起点和终点

开环零极点数相等时

$$K^* \frac{\prod_{j=1}^m (s - z_j)}{\prod_{i=1}^n (s - p_i)} = -1 \quad (1)$$

$$\prod_{i=1}^n (s - p_i) + K^* \prod_{j=1}^m (s - z_j) = 0 \quad (2)$$

$$\frac{1}{K^*} \prod_{i=1}^n (s - p_i) + \prod_{j=1}^m (s - z_j) = 0 \quad (3)$$

- 起点：开环极点
- 终点：开环零点

此时根轨迹只存在于有限区域内。

<.3>

开环极点数大于零点数

$$K^* = \frac{\prod_{i=1}^n |s - p_i|}{\prod_{j=1}^m |s - z_j|} \quad (4)$$

$$K^* = \frac{|s|^{n-m} \prod_{i=1}^n |1 - \frac{p_i}{s}|}{\prod_{j=1}^m |1 - \frac{z_j}{s}|} \quad (5)$$

此时根轨迹随  $K^*$  的增大而趋于无穷远，且远处的根轨迹趋近于  $\frac{K^*}{(s-c)^{n-m}}$ 。

<.4>

### 3 根轨迹的渐近线

当  $n > m$  时，根轨迹随  $K^*$  的增大趋于无穷远，且远处的根轨迹趋近于  $\frac{K^*}{(s-c)^{n-m}}$ 。此时， $\frac{K^*}{(s-c)^{n-m}}$  的根轨迹可看作渐近线。

根轨迹的渐近线

$$K^* \frac{1}{(s-c)^{n-m}} \approx -1 \quad (6)$$

$$K^* \frac{\prod_{j=1}^m (1 - \frac{z_j}{s})}{s^{n-m} \prod_{i=1}^n (1 - \frac{p_i}{s})} \approx \frac{K^*}{s^{n-m} (1 - \frac{c}{s})^{n-m}} \quad (7)$$

$$(1 - \frac{c}{s})^{n-m} \prod_{j=1}^m (1 - \frac{z_j}{s}) \approx \prod_{i=1}^n (1 - \frac{p_i}{s}) \quad (8)$$

<.5>

根轨迹的渐近线

$$(1 - \frac{c}{s})^{n-m} = 1 - \frac{(n-m)c}{s} + \dots \quad (9)$$

$$\prod_{j=1}^m (1 - \frac{z_j}{s}) = 1 - \frac{\sum_{j=1}^m z_j}{s} + \dots \quad (10)$$

$$\prod_{i=1}^n (1 - \frac{p_i}{s}) = 1 - \frac{\sum_{i=1}^n p_i}{s} + \dots \quad (11)$$

<.6>

根轨迹的渐近线

$$(1 - \frac{(n-m)c}{s} + \dots)(1 - \frac{\sum_{j=1}^m z_j}{s} + \dots) = 1 - \frac{\sum_{i=1}^n p_i}{s} + \dots \quad (12)$$

$$1 - \frac{(n-m)c}{s} - \frac{\sum_{j=1}^m z_j}{s} + \dots \approx 1 - \frac{\sum_{i=1}^n p_i}{s} + \dots$$

$$-(n-m)c - \sum_{j=1}^m z_j = \sum_{i=1}^n p_i \quad (13)$$

$$c = \frac{\sum_{i=1}^n p_i - \sum_{j=1}^m z_j}{n-m} \quad (14)$$

<.7>

## 4 根轨迹在实轴上的分布

根轨迹在实轴上的分布  $s \in R$  (开环零极点全为实数)

$$K^* \frac{\prod_{j=1}^m (s - z_j)}{\prod_{i=1}^n (s - p_i)} = -1 \quad (15)$$

$$K^* \frac{\prod_{j=1}^m \rho_j}{\prod_{i=1}^n A_i} = -1 \quad (16)$$

$$K^* \frac{\prod_{j=1}^m |\rho_j|}{\prod_{i=1}^n |A_i|} \frac{j=1(-1)^q}{(-1)^r} = -1 \quad (17)$$

实轴上某区域，若其右边开环实数零、极点个数之和为奇数，则该区域必是根轨迹。

<.8>

根轨迹在实轴上的分布  $s \in R$  (开环零极点存在共轭复数)

$$K^* G_q(s)(s - z_q)(s - \bar{z}_q) = -1 \quad (18)$$

$$K^* G_i(s)(s - a - jb_q)(s - a + jb_q) = -1 \quad (19)$$

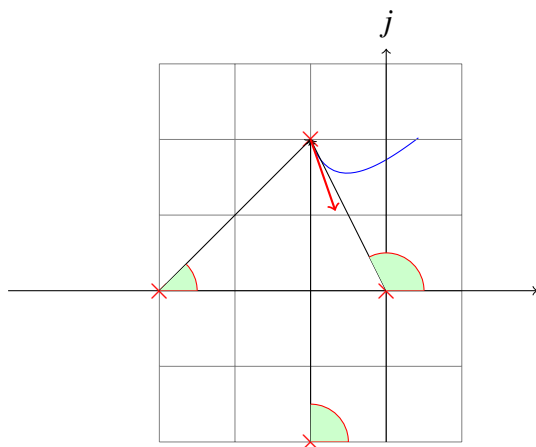
$$K^* G_i(s)((s - a)^2 + b_q^2) = -1 \quad (20)$$

实轴上某区域，若其右边开环实数零、极点个数之和为奇数，则该区域必是根轨迹。

<.9>

## 5 根轨迹的起始角与终止角

根轨迹的起始角与终止角



<.10>

起始角

$$\begin{aligned}
\sum_{l=1}^m \angle(s - z_l) - \sum_{i=1}^n \angle(s - p_i) &= (2k+1)\pi \\
s &= p_q + \delta r e^{j\theta} \\
\sum_{l=1}^m \angle(p_q + \delta r e^{j\theta} - z_l) - \sum_{i=1}^n \angle(p_q + \delta r e^{j\theta} - p_i) &= (2k+1)\pi \\
\lim_{\delta r \rightarrow 0} \sum_{l=1}^m \angle(p_q + \delta r e^{j\theta} - z_l) - \sum_{i=1}^n \angle(p_q + \delta r e^{j\theta} - p_i) &= (2k+1)\pi \\
\sum_{l=1}^m \angle(p_q - z_l) - \sum_{p_q=p_i} \theta - \sum_{p_q \neq p_i} \angle(p_q - p_i) &= (2k+1)\pi
\end{aligned}$$

<.11>

终止角

$$\begin{aligned}
\sum_{l=1}^m \angle(s - z_l) - \sum_{i=1}^n \angle(s - p_i) &= (2k+1)\pi \\
s &= z_q + \delta r e^{j\theta} \\
\sum_{l=1}^m \angle(z_q + \delta r e^{j\theta} - z_l) - \sum_{i=1}^n \angle(z_q + \delta r e^{j\theta} - p_i) &= (2k+1)\pi \\
\lim_{\delta r \rightarrow 0} \sum_{l=1}^m \angle(z_q + \delta r e^{j\theta} - z_l) - \sum_{i=1}^n \angle(z_q + \delta r e^{j\theta} - p_i) &= (2k+1)\pi \\
\sum_{z_q \neq z_l} \angle(z_q - z_l) + \sum_{z_q = z_l} \theta - \sum_{i=1}^n \angle(z_q - p_i) &= (2k+1)\pi
\end{aligned}$$

<.12>

## 6 根轨迹的分离点与分离角

分离点与分离角

- 分离点: 两条或两条以上根轨迹分支在  $S$  平面上相交后又分开的点称为根轨迹的分离点。
- 分离角: 根轨迹进入分离点的切线方向与离开分离点的切线方向之间的夹角

<.13>

分离点计算

$$\begin{aligned}
G(s) &= \frac{K^* M(s)}{N(s)} \\
D(s) &= N(s) + K^* M(s) \\
N(s) &= -K^* M(s) & D(s) &= 0 \\
N'(s) &= -K^* M'(s) & D'(s) &= 0 \\
\frac{N'(s)}{N(s)} &= \frac{M'(s)}{M(s)} \\
\frac{\frac{d}{ds} \prod_{i=1}^n (s - p_i)}{\prod_{i=1}^n (s - p_i)} &= \frac{\frac{d}{ds} \prod_{j=1}^m (s - z_j)}{\prod_{j=1}^m (s - z_j)} \\
\sum_{i=1}^n \frac{1}{s - p_i} &= \sum_{j=1}^m \frac{1}{s - z_j}
\end{aligned}$$

分离角计算:

设  $K^* = K_0$  时有重极点。可将原特征方程变换

$$D(s) = N(s) + K^* M(s)$$

$$D(s) = N(s) + (K' + K_0)M(s)$$

$$D(s) = N(s) + K_0 M(s) + K' M(s)$$

$$D'(s) = N'(s) + K' M(s)$$

新系统  $\frac{M(s)}{N'(s)}$  的开环极点 ( $N'(s)=0$  的根) 与  $K^* = K_0$  时原系统闭环特征方程的根相同。可得:

- 原系统的分离点等于新系统的起始点
- 分离角等于  $180^\circ$  根轨迹与  $0$  度根轨迹起始角之差
  - $180^\circ$  根轨迹起始角:  $\theta_1$
  - $0$  度根轨迹起始角:  $\theta_2$
  - 其它零 (极) 点到分离点的辐角之和 (差):  $\theta_2$

$$L\theta_1 = \theta_0 + (2k_1 + 1)\pi$$

$$L\theta_2 = \theta_0 + 2k_2\pi$$

$$L\Delta\theta = (2(k_1 - k_2) + 1)\pi$$

$$\Delta\theta = \frac{(2k + 1)\pi}{L}$$

## 7 根轨迹与虚轴的交点

根轨迹与虚轴的交点

$$\begin{aligned} 1 + G(s)H(s) &= 0 \\ s &= j\omega \\ 1 + G(j\omega)H(j\omega) &= 0 \end{aligned}$$

## 8 根之和 ( $n - 1 > m$ )

根之和 ( $n - 1 > m$ )

$$\begin{aligned} \prod_{i=1}^n (s - p_i) + K^* \prod_{j=1}^m (s - z_j) &= 0 \\ \prod_{i=1}^n (s - p_i) &= s^n + \sum_{i=1}^n (-p_i)s^{n-1} + \dots \\ \prod_{j=1}^m (s - z_j) &= s^m + \sum_{j=1}^m (-z_j)s^{m-1} + \dots \\ \prod_{i=1}^n (s - p_i) + K^* \prod_{j=1}^m (s - z_j) &= s^n + \sum_{i=1}^n (-p_i)s^{n-1} + \dots \end{aligned}$$

根之和 ( $n-1 > m$ )

$$\begin{aligned}
\prod_{i=1}^n (s - p_i) + K^* \prod_{j=1}^m (s - z_j) &= s^n + \sum_{i=1}^n (-p_i) s^{n-1} + \dots \\
\prod_{i=1}^n (s - p_i) + K^* \prod_{j=1}^m (s - z_j) &= \prod_{i=1}^n (s - s_i) \\
\prod_{i=1}^n (s - s_i) &= s^n + \sum_{i=1}^n (-s_i) s^{n-1} + \dots \\
\sum_{i=1}^n (-p_i) s^{n-1} &= \sum_{i=1}^n (-s_i) s^{n-1} \\
\sum_{i=1}^n (-p_i) &= \sum_{i=1}^n (-s_i) \\
\sum_{i=1}^n p_i &= \sum_{i=1}^n s_i
\end{aligned}$$

<.18>